

15,14

Термомеханический режим формирования вихревых течений в гибридно ориентированном нематическом канале

© А.В. Захаров

Институт проблем машиноведения РАН,
Санкт-Петербург, Россия

E-mail: alexandre.zakharov@yahoo.ca

Поступила в Редакцию 15 января 2019 г.

В окончательной редакции 15 января 2019 г.

Принята к публикации 15 января 2019 г.

Численными методами, в рамках нелинейного обобщения классической теории Эриксона–Лесли, допускающей учет термомеханических вкладов как в выражение для сдвигового напряжения, так и в уравнение баланса энтропии, описаны несколько сценариев формирования вихревых течений (ВТ) в микроразмерных гибридно-ориентированных жидкокристаллических (ГОЖК)-каналах с ориентационными дефектами. Анализ численных результатов показал, что ГОЖК-канале два либо один вихрь, хотя на начальном этапе формирования ВТ зарождаются два вихря, направленные навстречу друг другу.

Работа выполнена при финансовой поддержке Минобрнауки (гранты 3.11888.2018/11.12 и 3.9585.2017/8.9).

DOI: 10.21883/FTT.2019.06.47699.358

1. Введение

В последнее время все чаще методы микро- и нанофлюидики находят применение не только при исследовании процессов транспортировки и сортировки нанолитровых объемов молекулярных жидкостей [1–4], но и в разнообразных семействах сенсоров и датчиков на основе термо- и лиотропных жидкокристаллических (ЖК) материалов [3,5]. Еще одной не менее интригующей областью применения микролитровых объемов ЖК-материалов являются биометрические оптические системы, где основным элементом являются ЖК-линзы с регулируемым фокусным расстоянием (tunable liquid crystal microlenses) [6,7]. Один из способов, позволяющий манипулировать такими микроразмерными молекулярными системами, основывается на использовании электрического поля [8]. Другой способ, позволяющий транспортировать микролитровые объемы молекулярных жидкостей, основан на формировании разности градиентов поверхностного натяжения (ГПН) на границах раздела жидкость/газ и жидкость/твердое тело [9]. Эта разность ГПН может быть создана посредством локального разогрева ограниченного объема жидкости, например, с помощью сфокусированного лазерного излучения. Эти вышеописанные методы транспортировки микролитровых объемов одинаково применимы как для молекулярных жидкостей, так и для манипулирования микролитровыми объемами ЖК-материалов. Отличительной особенностью ЖК-систем от изотропных молекулярных жидкостей является то, что при определенных термодинамических условиях в ЖК-системах формируется ориентационное упорядочение молекул, которое описывается полем директора \hat{n} [10]. Было показано, что взаимодействие градиентов поля директора $\nabla\hat{n}$ и температуры ∇T ведет к формированию устойчивого гид-

родинамического потока в ЖК-материала [11]. Величина этого потока пропорциональна сдвиговой составляющей термомеханического вклада σ_{zx}^{tm} в тензор напряжения (ТН) $v \sim \frac{d}{\eta} \sigma_{zx}^{tm}$, где $\sigma_{zx}^{tm} \sim \xi \frac{\Delta T}{d^2}$, η — сдвиговая вязкость ЖК-материала, $\Delta T = T_2 - T_1 > 0$, а область температур $[T_2, T_1]$ находится в пределах стабильности нематической фазы толщиной d , в то время как ξ — термомеханическая постоянная [12]. Если локальный градиент температуры в объеме ЖК-фазы легко формируется с помощью лазерного излучения, то градиент поля директора удается сформировать посредством гибридной ориентации ЖК (ГОЖК)-фазы, в которой ориентация поля директора на одной из поверхностей планарная, а на другой — гомеотропная. Все это указывает на то, что существует возможность немеханической транспортировки микролитровых объемов ЖК-материала под действием сфокусированного лазерного излучения. Но нужно принять во внимание тот факт, что в микроразмерных объемах ЖК-материала всегда присутствует какое-то количество ориентационных дефектов (ОД), которые влияют на процесс транспортировки ЖК-материалов. Степень влияния ОД, а также величины и направления теплового потока \mathbf{q} , инициируемого лазерным излучением на характер возбуждаемого гидродинамического течения в микроразмерном ЖК-канале, будет исследована в рамках нелинейного обобщения классической теории Эриксона–Лесли [13,14], с учетом баланса энтропии [15].

2. Основные уравнения

Рассмотрим длинный прямоугольный ЖК-канал с размерами $2D$ и $2d$ ($D \gg d$), ограниченный твердыми горизонтальными и вертикальными поверхностями. Допустим, что директор планарно ориентирован на вер-

ней и двух боковых поверхностях, и гомеотропно на нижней поверхности. Рассмотрим систему координат, отсчитываемую от середины ЖК-канала так, что ось X и орт $\hat{\mathbf{i}}$ совпадают с направлением директора на верхней ограничивающей поверхности ($\hat{\mathbf{i}} \parallel \hat{\mathbf{n}}_{z=d}$), в то время как ось Z и орт $\hat{\mathbf{k}}$ направлены ортогонально ($\hat{\mathbf{k}} \perp \hat{\mathbf{n}}_{z=d}$), а орт $\hat{\mathbf{j}} = \hat{\mathbf{k}} \times \hat{\mathbf{i}}$. Будем предполагать, что переориентация поля директора $\hat{\mathbf{n}} = (n_x, 0, n_z) = \sin \theta \hat{\mathbf{i}} + \cos \theta \hat{\mathbf{k}}$ под действием градиента температуры ∇T , формирующегося за счет сфокусированного лазерного излучения, осуществляется в плоскости XZ . Здесь $\theta \equiv \theta(x, z, t)$ — полярный угол, образованный директором $\hat{\mathbf{n}}$ и ортом $\hat{\mathbf{k}}$. Далее мы будем использовать безразмерные пространственные координаты $\bar{x} = \frac{x}{d}$ и $\bar{z} = \frac{z}{d}$, причем в дальнейшем верхняя черта будет опущена.

В настоящей работе предлагается новый подход описывающий механизм формирования вихревого течения в микроразмерном ГОЖК-канале под действием потока тепла \mathbf{q} , направленного под углом α к нижней ограничивающей поверхности канала, содержащей ориентационный дефект. Этот ОД характеризуется непрерывным изменением поля директора от гомеотропной ориентации к планарной, и обратно к гомеотропной. Таким образом, вдоль нижней ограничивающей поверхности ГОЖК-канала формируется градиент $\nabla \theta$, то есть

$$\theta_{-10 \leq x \leq -L, z=-1} = \theta_{L \leq x \leq 10, z=-1} = 0, \quad \theta_{-L < x < L, z=-1} = \mathcal{A}, \quad (1)$$

где $\mathcal{A} = \tan^{-1} \left(\frac{L^2 - x^2}{4x^4} \right)$, $L = \frac{l}{d}$, и $2l$ — линейный размер ОД на нижней ограничивающей поверхности, в то время как на остальных поверхностях директор ориентирован планарно, то есть

$$\theta_{x=\pm 10, -1 < z < 1} = 0, \quad \theta_{-10 \leq x \leq 10, z=1} = \frac{\pi}{2}. \quad (2)$$

В дальнейших расчетах будем считать, что отношение D/d равно 10. Для того чтобы понять, какую роль играет тепловой поток $\mathbf{q} = q_z \hat{\mathbf{k}} = \mathcal{Q} \sin \alpha \hat{\mathbf{k}}$ в формировании вихревого течения в микроразмерном ГОЖК-канале, предположим, что лазерное излучение сфокусировано на нижней ограничивающей поверхности содержащей ориентационный дефект. Здесь α — угол образованный вектором $\hat{\mathbf{q}}$ и ортом $\hat{\mathbf{i}}$, а функция

$$\mathcal{Q}(x, z) = \mathcal{Q}_0 \exp \left(-2 \frac{(x-x_0)^2 + (z-z_0)^2}{\Delta} \right) \mathcal{H}(\tau_{\text{in}} - \tau) \quad (3)$$

описывает распределение инжектируемой энергии в микроразмерном ГОЖК-канале, в то время как \mathcal{Q}_0 — безразмерная мощность теплового потока, $\Delta = \frac{\omega_0}{d} = 2L$ — размер Гауссова пятна лазерного излучения, x_0 и z_0 — координаты его центра соответственно, $\mathcal{H}(\tau_{\text{in}} - \tau)$ — функция Хэвисайда, $\tau = \frac{t}{\tau_R}$ — безразмерное время в течении которого протекает процесс формирования вихревого течения, τ_{in} — характерное безразмерное время накачки лазерного излучения в ЖК-фазу.

Граничное условие для безразмерной температуры $\chi \equiv \chi(x, z, \tau) = T(x, z, \tau)/NI$ может быть записано в виде

$$(\chi_{,z}(x, z, \tau))_{z=-1} = \left[\frac{q_z - (\lambda - 1)n_x n_z \chi_{,x}}{\lambda n_z^2 + n_x^2} \right]_{z=-1}, \quad (4)$$

в то время как температура на остальных ограничивающих поверхностях постоянна и равна

$$\chi_{-10 \leq x \leq 10, z=1} = \chi_{x \pm 10, -1 < z < 1} = \chi_c. \quad (5)$$

Здесь $\lambda = \lambda_{\parallel}/\lambda_{\perp}$, λ_{\parallel} и λ_{\perp} — коэффициенты теплопроводности ЖК-фазы в направлении параллельном и перпендикулярном направлению директора $\hat{\mathbf{n}}$, $\chi_{,x} = \frac{\partial \chi}{\partial x}$, и T_{NI} — температура фазового перехода нематик–изотропная фаза соответственно. В нашем случае поле скорости $\mathbf{v} = u \hat{\mathbf{i}} + w \hat{\mathbf{k}}$ удовлетворяет граничным условиям

$$u_{-10 \leq x \leq 10, z=-1} = u_{x \pm 10, -1 < z < 1} = 0, \quad w_{-10 \leq x \leq 10, z=-1} = w_{x \pm 10, -1 < z < 1} = 0, \quad (6)$$

где $u \equiv v_x(x, z, \tau)$ и $w \equiv v_z(x, z, \tau)$ — являются компонентами вектора скорости \mathbf{v} . Принимая во внимание тот факт, что толщина ЖК-канала варьируется в пределах нескольких микрометров, будем считать, что плотность ЖК-фазы постоянна по сечению канала ($\rho = \text{const}$). Таким образом, мы имеем дело с несжимаемой ЖК-фазой, и условие несжимаемости $\nabla \cdot \mathbf{v} = 0$, которое принимает вид

$$u_{,x} + w_{,z} = 0, \quad (7)$$

выполняется за счет введения функции тока ψ , где $u = \psi_{,z}$, а $w = -\psi_{,x}$ соответственно.

В нашем случае безразмерные уравнения баланса угловых и линейных моментов, действующих на единицу объема ЖК-фазы, а также баланса энтропии имеют вид (см. Приложение и ссылку [16])

$$\begin{aligned} n_z n_{x,\tau} - n_x n_{z,\tau} &= \delta_1 [n_z \mathcal{M}_{0,x} - n_x \mathcal{M}_{0,z} \\ &+ K_{31} (n_z f_{,z} + n_x f_{,x})] - \frac{1}{2} \psi_{,xx} [1 + \gamma_{21} (n_x^2 - n_z^2)] \\ &- \frac{1}{2} \psi_{,zz} [1 - \gamma_{21} (n_x^2 - n_z^2)] \cdot 2\gamma_{21} \psi_{,xz} n_x n_z \\ &+ \psi_{,z} \mathcal{N}_x + \mathcal{N}_z \psi_{,x} + \delta_2 (\chi_{,x} \mathcal{L}_{,x} + \chi_{,z} \mathcal{L}_{,z}). \end{aligned} \quad (8)$$

$$\begin{aligned} \delta_3 \psi_{,xz\tau} &= a_1 \psi_{,zzzz} + a_2 \psi_{,xzzz} + a_3 \psi_{,xxzz} + a_4 \psi_{,xxxz} \\ &+ a_5 \psi_{,xxxx} + a_6 \psi_{,zzz} + a_7 \psi_{,xzz} + a_8 \psi_{,xxz} + a_9 \psi_{,xxx} \\ &+ a_{10} \psi_{,zz} + a_{11} \psi_{,xz} + a_{12} \psi_{,xx} + \mathcal{F}, \end{aligned} \quad (9)$$

$$\begin{aligned} \chi_{,\tau} &= [\chi_{,x} (\lambda n_x^2 + n_z^2) + (\lambda - 1) n_x n_z \chi_{,z}]_{,x} \\ &+ [\chi_{,z} (\lambda n_z^2 + n_x^2) + (\lambda - 1) n_x n_z \chi_{,x}]_{,z} \\ &+ \delta_4 \chi \left(\nabla \cdot \frac{\partial \mathcal{P}^{lm}}{\partial \nabla \chi} \right) - \psi_{,z} \chi_{,x} + \psi_{,x} \chi_{,z}, \end{aligned} \quad (10)$$

где $\mathcal{M}_0 = \nabla \cdot \hat{\mathbf{n}}$, $K_{31} = K_3/K_1$ — отношение коэффициентов упругости продольного и поперечного изгибов,

$\gamma_{21} = \gamma_2/\gamma_1$ — отношение коэффициентов вращательной вязкости, $\bar{\psi} = \frac{t_T}{d^2} \psi$ — безразмерная функция тока ψ для поля скорости $\mathbf{v} = u\hat{i} + w\hat{k} = -\nabla \times \hat{j}\psi$, $\tau = \frac{t}{t_T}$ — безразмерное время, а $t_T = \frac{\rho C_p d^2}{\lambda_{\perp}}$ — характерное время используемое для нормировки. Выражения для функции $\mathcal{F} = (\sigma_{xx}^{el} + \sigma_{xx}^{tm} - \sigma_{zz}^{el} - \sigma_{zz}^{tm})_{,xz} + (\sigma_{zx}^{el} + \sigma_{zx}^{tm})_{,zz} - (\sigma_{xz}^{el} + \sigma_{xz}^{tm})_{,xx}$ и коэффициентов a_i ($i = 1, \dots, 12$), а также выражения для термомеханического σ_{ij}^{tm} ($i, j = x, z$) и упругого σ_{ij}^{el} ($i, j = x, z$) вкладов в полный тензор напряжения σ_{ij} ($i, j = x, z$) даны в Приложении и в ссылке [16]. Вспомогательные функции имеют вид: $f = n_{x,z} - n_{z,x}$, $n_{z,\tau} = \frac{\partial n_z}{\partial \tau}$, $\mathcal{N}_z = n_z n_{x,z} - n_x n_{z,z}$, $\mathcal{L}_x = n_x n_{z,x} - \frac{3}{2} n_z n_{x,x} + \frac{1}{2} n_x n_{x,z}$, $\mathcal{L}_z = -n_z n_{x,z} + \frac{3}{2} n_x n_{z,z} - \frac{1}{2} n_z n_{z,x}$. В системе уравнений (8)–(10) и в последующем изложении черта над безразмерной функцией тока опущена. Безразмерный термомеханический вклад в функцию Рэлея \mathcal{R}^{tm} может быть записан в виде (детали изложены в Приложении и в ссылке [16])

$$\begin{aligned} \mathcal{R}^{tm} = & \chi_{x,x} \left(-\frac{1}{2} n_z \mathcal{M}_0 - n_z M_{xx} \right. \\ & \left. + n_x^2 (n_x M_{zz} - M_{xx} n_z + 2n_x M_{xz}) \right) \\ & + \chi_{z,z} \left(\frac{1}{2} n_x \mathcal{M}_0 + n_x M_{zz} + n_z^2 (n_x M_{zz} - M_{xx} n_x - 2n_z M_{xz}) \right), \end{aligned} \quad (11)$$

где M_{ij} ($i, j = x, z$) — компоненты тензора $\mathbf{M} = \frac{1}{2} [\nabla \hat{\mathbf{n}} + (\nabla \hat{\mathbf{n}})^T]$. Система уравнений (8)–(10) характеризуется набором параметров $\delta_1 = \frac{t_T K_1}{\gamma_1 d^2}$, $\delta_2 = \frac{\rho C_p T_{NI} \xi}{\lambda_{\perp} \gamma_1}$, $\delta_3 = \frac{\rho d^2}{\gamma_1 t_T}$, и $\delta_4 = \frac{\xi}{\lambda_{\perp} t_T}$. Здесь $\xi = 10^{-12}$ [J/mK] — термомеханическая постоянная [12].

Эволюция поля директора и скорости под действием градиента температуры $\nabla \chi$ может быть описана системой нелинейных дифференциальных уравнений в частных производных (8)–(10) и должна быть дополнена граничными условиями, как для поля директора и температуры, так и для функции тока

$$\begin{aligned} (n_x)_{x=\pm 10, -1 \leq z \leq 1} &= 0, & (n_x)_{-10 < x < 10, z=1} &= 1, \\ (n_x)_{-10 < x < -L, z=-1} &= (n_x)_{L < x < 10, z=-1} = 0, \\ (n_x)_{-L < x < L, z=-1} &= \sin \mathcal{A}, \\ \chi_{x=\pm 10, -1 \leq z \leq 1} &= 0.97, & \chi_{-10 < x < 10, z=1} &= 0.97, \\ (\chi_{,z}(x, z, \tau))_{z=-1} &= \left[\frac{q_z - (\lambda - 1) n_x n_z \chi_{,x}}{\lambda n_z^2 + n_x^2} \right]_{z=-1}, \\ (\psi_{,x})_{x=\pm 10, -1 \leq z \leq 1} &= (\psi_{,x})_{x=\pm 10, -1 \leq z \leq 1} = 0, \\ (\psi_{,x})_{-10 \leq x \leq 10, z=-1} &= (\psi_{,z})_{-10 \leq x \leq 10, z=-1} = 0. \end{aligned} \quad (12)$$

В свою очередь, начальное условие для поля директора имеет вид

$$\hat{\mathbf{n}}(x, z, \tau = 0) = \hat{\mathbf{n}}_{\text{elas}}^{\text{eq}}(x, z), \quad (13)$$

в то время как начальные условия для функции тока и температуры могут быть записаны в виде

$$\psi(x, z, \tau = 0) = 0, \quad (14)$$

и

$$\chi(x, z, \tau = 0) = 0.97 \quad (15)$$

соответственно.

В случае ЖК-системы, образованной молекулами 4-*n'*-пентил-*n'*-цианобифенила (5ЦБ), температурный интервал существования нематической фазы соответствует $297 \leq T \leq 308$ К. В этом интервале температур величины параметров оцениваются как $\delta_1 \sim 10^{-3}$, $\delta_2 \sim 0.3$, $\delta_3 \sim 10^{-6}$, и $\delta_4 \sim 10^{-4}$ соответственно. Поэтому с учетом того, что $\delta_3 \ll 1$, уравнение (9) принимает вид

$$\begin{aligned} a_1 \psi_{,zzzz} + a_2 \psi_{,xzzz} + a_3 \psi_{,xxzz} + a_4 \psi_{,xxxx} + a_5 \psi_{,xxxx} \\ + a_6 \psi_{,zzz} + a_7 \psi_{,xzz} + a_8 \psi_{,xxz} + a_9 \psi_{,xxx} \\ + a_{10} \psi_{,zz} + a_{11} \psi_{,xz} + a_{12} \psi_{,xx} + \mathcal{F} = 0. \end{aligned} \quad (16)$$

3. Решение гидродинамических уравнений и основные результаты

Процесс термомеханического формирования вихревого течения в ГОЖК-канале под действием лазерного излучения сфокусированного на нижней границе канала, содержащей ОД, описывается системой нелинейных дифференциальных уравнений в частных производных (8), (16) и (10) совместно с граничными (12) и начальными условиями, как для поля директора (13) и функции тока (14), так и для температуры (15) соответственно. Здесь равновесное распределение поля директора $\hat{\mathbf{n}}_{\text{elas}}^{\text{eq}}(x, z)$ получено в результате решения уравнения (8) при условии, что отсутствуют течение и градиенты температуры $\psi_{,x} = \psi_{,z} = \chi_{,x} = \chi_{,z} = 0$. Граничное условие для поля директора $\hat{\mathbf{n}}_{\text{elas}}^{\text{eq}}(x, z)$ имеет вид

$$\begin{aligned} (n_x)_{x=\pm 10, -1 \leq z \leq 1} &= 0, & (n_x)_{-10 < x < 10, z=1} &= 1, \\ (n_x)_{-10 < x < -L, z=-1} &= (n_x)_{L < x < 10, z=-1} = 0, \\ (n_x)_{-L < x < L, z=-1} &= \sin \mathcal{A}, \end{aligned} \quad (17)$$

а начальное условие может быть записано как

$$\begin{aligned} \theta_{\text{elas}}(x, z, \tau = 0) \\ = \begin{cases} 0, & -1 \leq z \leq 1, \quad x = \pm 10, \\ \frac{\pi}{4}(z+1), & -10 < x < -L, \quad L < x < 10, \\ \frac{\pi}{2}, & z = -1, \quad -L < x < -L. \end{cases} \end{aligned}$$

Формирование вихревого течения в ГОЖК-канале под действием лазерного излучения сфокусированного на

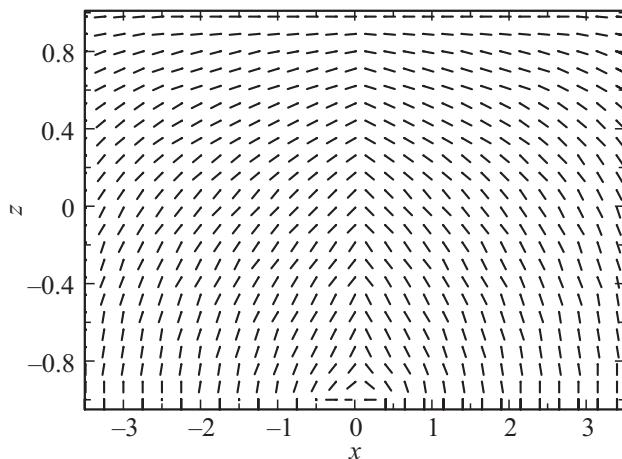


Рис. 1. Фрагмент распределения поля директора $\hat{\mathbf{n}}_{\text{elast}}^{\text{eq}}(x, z)$ в ГОЖК-канале вблизи ОД, локализованного на нижней границе $-L < x < L$, $z = -1$ канала в начальный момент времени $\tau = 0$. Здесь $L = \pm 0.5$.

нижней границе было исследовано численно методом релаксаций [17], а критерием сходимости итерационной процедуры был выбран $\epsilon = |(\theta_{m+1} - \theta_m) / \theta_m| \sim 10^{-4}$. Здесь m - номер итерации.

На рис. 1 представлены результаты расчета распределения поля директора $\hat{\mathbf{n}}_{\text{elast}}^{\text{eq}}(x, z)$ в ГОЖК-канале вблизи ОД, локализованного на нижней границе ($-L < x < L$, $z = -1$) канала в начальный момент времени $\tau = 0$. Здесь $L = \pm 0.5$ — соответствует правой и левой границам ориентационного дефекта соответственно. Согласно расчетам, наибольшее изменение величины $\nabla\theta_{\text{eq}}(x, z)$ достигается вблизи ОД, и его влияние простирается практически на 1/3 объема ЖК-канала, достигая точки с координатой $x = 0$, $z = 0.8$. Располагая начальным распределением поля директора $\hat{\mathbf{n}}_{\text{elast}}^{\text{eq}}(x, z)$, с помощью уравнения (10) и условия отсутствия скорости $(\psi)_x = (\psi)_z = 0$, было рассчитано поле температуры $\chi(x, z, \Delta\tau)$ соответствующее следующему шагу по времени $\Delta\tau$. Это, в свою очередь, позволило рассчитать функцию \mathcal{F} и функцию тока $\psi(x, z, \Delta\tau)$. Следующий шаг по времени $\Delta\tau$ для распределения поля директора, скорости и температуры по объему ГОЖК-канала был осуществлен с помощью сеточного метода [18], причем устойчивость численной процедуры определялась из условия

$$\frac{\Delta\tau}{\delta_3} \left(\frac{1}{(\Delta x)^2} + \frac{1}{(\Delta z)^2} \right) \leq \frac{1}{2},$$

$$\frac{3a_5}{(\Delta x)^4} - \frac{2a_1}{(\Delta z)^4} > 0,$$

где Δx и Δz — приращения пространственных переменных, а коэффициенты a_1 и a_5 приведены в Приложении ссылки [16].

Эволюция распределения поля скорости $\mathbf{v}(x, z, \tau) = u(x, z, \tau)\hat{\mathbf{i}} + w(x, z, \tau)\hat{\mathbf{k}}$ в микроразмерном ГОЖК-канале под действием потока тепла \mathbf{q} ,

направленного под углом α к нижней границе канала, содержащего ОД, представлена на рис. 2–4. Для того чтобы понять какую роль играет тепловой поток

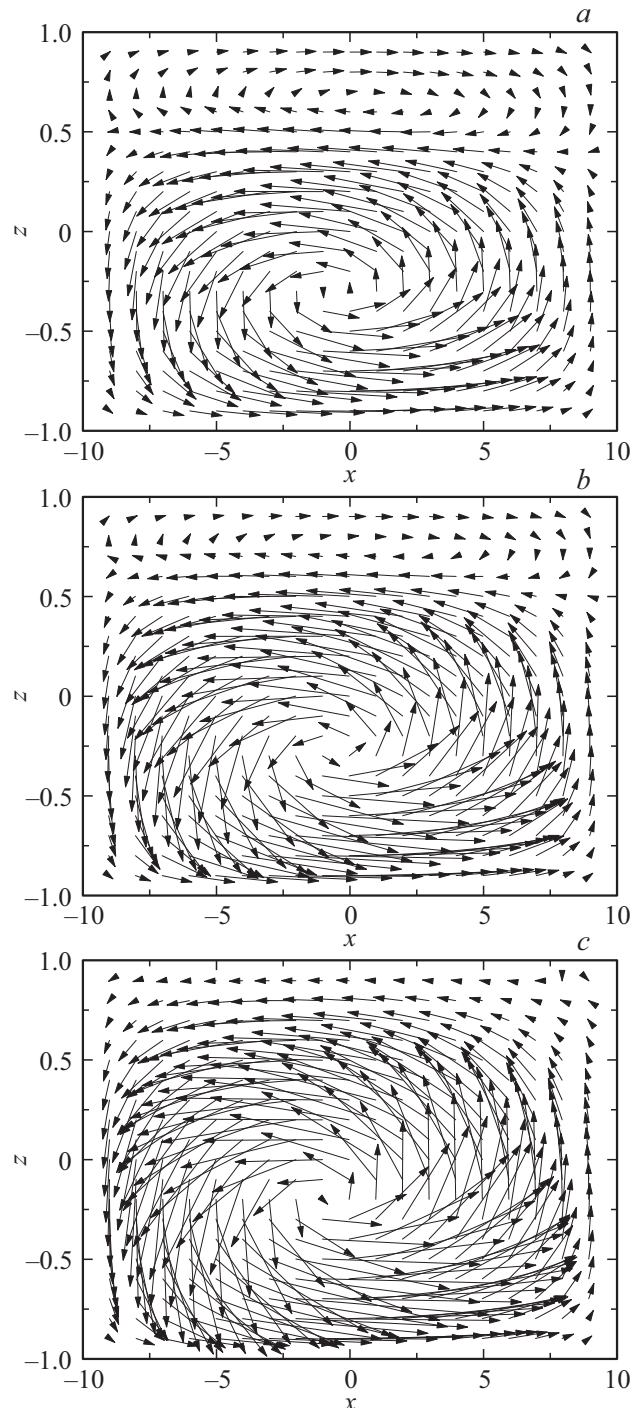


Рис. 2. Эволюция распределения поля скорости $\mathbf{v}(x, z, \tau) = u(x, z, \tau)\hat{\mathbf{i}} + w(x, z, \tau)\hat{\mathbf{k}}$ в микроразмерном ГОЖК-канале под действием потока тепла \mathbf{q} направленного под углом $\alpha = 20^\circ$ к нижней границе канала содержащего ОД, для трех значений времени τ : (a) $\sim 10^{-5}$ ($\sim 18 \mu\text{s}$), (b) $\sim 4 \cdot 10^{-5}$ ($\sim 72 \mu\text{s}$) и (c) $\tau_{\text{in}} \sim 1.6 \cdot 10^{-4}$ ($\sim 0.29 \text{ms}$) соответственно. Стрелке длиной в 1 mm соответствует величина вектора скорости, равная $1.8 \mu\text{m/s}$.

$\mathbf{q} = q_z \hat{\mathbf{k}} = Q \sin \alpha \hat{\mathbf{k}}$ в формировании вихревого течения в микроразмерном ГОЖК-канале предположим, что этот поток \mathbf{q} формируется под действием направленного лазерного излучения, сфокусированного по всей длине $-L < x < L, z = -1$ ОД на нижней границе ЖК-канала. При этом время накачки τ_{in} лазерного излучения мощностью $Q_0 = 0.05$ ($\sim 4.2 \cdot 10^{-4} \text{ mW}/\mu\text{m}^2$) равно $1.6 \cdot 10^{-4}$ ($\sim 0.29 \text{ ms}$).

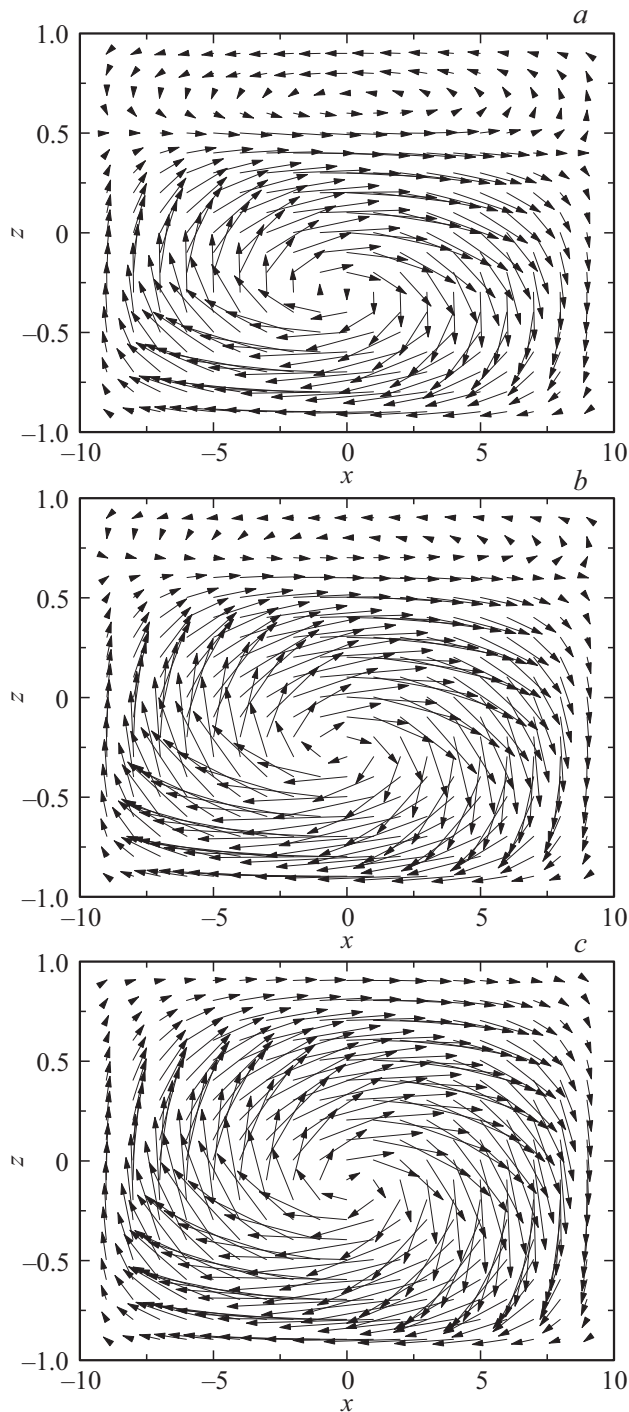


Рис. 3. То же, что на рис. 2, для потока тепла \mathbf{q} , направленного под углом $\alpha = 160^\circ$ к нижней границе канала, содержащего ОД.

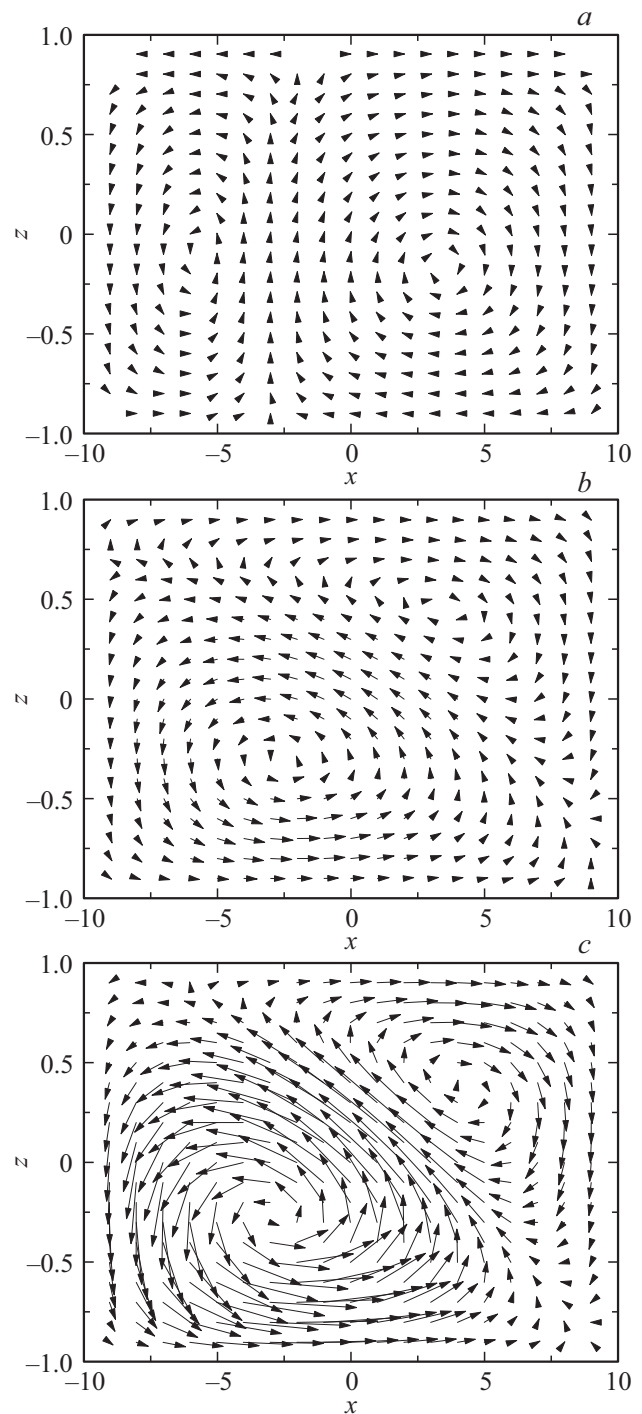


Рис. 4. То же, что на рис. 2, для потока тепла \mathbf{q} , направленного под углом $\alpha = 90^\circ$ к нижней границе канала, содержащего ОД.

Здесь мощность и продолжительность лазерной накачки подобрана таким образом, чтобы вариация температуры соответствовала области существования нематической фазы. На всех трех рисунках (рис. 2–4) стрелке длиной в 1 мм соответствует величина вектора скорости, равная $1.8 \mu\text{m/s}$. Вначале рассмотрим случай когда тепловой поток \mathbf{q} направлен под углом $\alpha = 20^\circ$ к нижней границе канала содержащего ориентацион-

ный дефект. На временах порядка $\sim 10^{-5}$ ($\sim 18 \mu s$) распределение поля скорости $\mathbf{v}(x, z, \tau)$ характеризуется зарождением двух вихрей, вращающихся навстречу друг другу (рис. 2, *a*). При этом, первый, наиболее сильный вихрь располагается вблизи нижней, более теплой границы ГОЖК-канала, занимая при этом практически три четверти объема ЖК-фазы и вращается против часовой стрелки. Второй, более слабый вихрь, располагается вблизи верхней менее прогретой границы ГОЖК-канала и вращается по часовой стрелке (случай Ia). По мере прогревания нижней границы ГОЖК-канала с ОД, на временах порядка $\sim 4 \cdot 10^{-5}$ ($\sim 72 \mu s$), нижний, более сильный вихрь немного ускоряется, а верхний, более слабый вихрь, немного замедляется, по сравнению со случаем Ia (рис. 2, *b*). К моменту выключения лазерного излучения, спустя время $\tau = \tau_{in} \sim 1.6 \cdot 10^{-4}$ ($\sim 0.29 ms$), этот двухвихревой гидродинамический поток распадается и окончательно формируется одновихревой поток, направленный против часовой стрелки, с центром вращения в середине ГОЖК-канала (случай I) (рис. 2, *c*). При этом максимальная величина скорости вращения $v_{max}(I) \sim 0.1 mm/s$ достигается вблизи ОД, который разогревается до температуры $\chi_{-L < x < L, z = -1} = 0.991$ ($\sim 304.5 K$). При смене направления потока тепла $\mathbf{q} = q_z \hat{\mathbf{k}} = Q \sin \alpha \hat{\mathbf{k}}$ через нижнюю границу ГОЖК-канала с ОД, со значения $\alpha = 20^\circ$ на 160° , распределение поля скорости $\mathbf{v}(x, z, \tau)$ характеризуется также зарождением двух вихрей, направленных навстречу друг другу, но при этом меняется направленность вихрей (рис. 3, *a*). На временах порядка $\sim 10^{-5}$ ($\sim 18 \mu s$), первый, наиболее сильный вихрь вращается по часовой стрелке, а второй, слабый вихрь — против часовой стрелки. Сильный вихрь, как и в случае I, расположен вблизи более теплой нижней границы ГОЖК-канала, а слабый вихрь, вблизи верхней границы канала (рис. 3, *a*). Дальнейшая эволюция двухвихревого течения в ГОЖК-канале, на временах порядка $\sim 4 \cdot 10^{-5}$ ($\sim 72 \mu s$), повторяет эволюцию гидродинамического течения характерного для случая I (рис. 3, *b*), с той особенностью, что спустя время $\tau = \tau_{in} \sim 1.6 \cdot 10^{-4}$ ($\sim 0.29 ms$), окончательно сформировавшийся одновихревой поток вращается по часовой стрелке, с центром вращения в середине ГОЖК-канала (случай II) (рис. 3, *c*). При этом максимальная величина скорости вращения $v_{max}(II) \sim 0.1 mm/s$ достигается вблизи ОД, который также, как и в случае I, разогревается до температуры $\chi_{-L < x < L, z = -1} = 0.991$ ($\sim 304.5 K$). Эволюция распределения поля скорости $\mathbf{v}(x, z, \tau)$ в микроразмерном ГОЖК-канале под действием потока тепла \mathbf{q} направленного перпендикулярно ($\alpha = 90^\circ$) нижней границе ГОЖК-канала с ОД, отличается от двух вышеописанных сценариев эволюции поля скорости. На временах порядка $\sim 10^{-5}$ ($\sim 18 \mu s$), распределение поля скорости $\mathbf{v}(x, z, \tau)$ также, как и в случаях I и II, характеризуется зарождением двух вихрей, направленных навстречу друг другу (рис. 4, *a*). При этом, первый, наиболее крупный вихрь располагается в правой части ГОЖК-канала и вращается по часовой стрелке, занимая при этом практически три четверти объема ЖК-фазы.

Второй, более мелкий вихрь, располагается в левой части ГОЖК-канала и вращается против часовой стрелки (рис. 4, *a*). При этом, скорости вращения этих вихрей практически равны друг другу. По мере прогревания нижней границы ГОЖК-канала с ОД, на временах порядка $\sim 4 \cdot 10^{-5}$ ($\sim 72 \mu s$), размер мелкого левого вихря начинает расти и занимает большую часть ЖК-объема вблизи нижней более теплой границы ГОЖК-канала (рис. 4, *b*). Скорость вращения левого, теперь уже более крупного вихря возрастает, в то время как скорость вращения правого вихря практически не меняется. К моменту выключения лазерного излучения, спустя время $\tau = \tau_{in} \sim 1.6 \cdot 10^{-4}$ ($\sim 0.29 \mu s$), окончательно формируется гидродинамический поток, характеризующийся двумя вихрями, направленными навстречу друг другу (случай III) (рис. 4, *c*). При этом максимальная величина скорости вращения $v_{max}(III)$ левого, более крупного вихря, направленного по часовой стрелке, примерно в два раза меньше максимальной скорости вращения обоих вихрей $v_{max}(I)$ и $v_{max}(II)$, соответствующих случаям I и II соответственно.

Основываясь на наших вычислениях, можно сделать вывод, что направление теплового потока \mathbf{q} через нижнюю границу ГОЖК-канала содержащего ОД может кардинальным образом влиять на формирование поля скорости в микроразмерном ГОЖК-объеме с ориентационным дефектом. Под влиянием теплового потока, инициируемого сфокусированным лазерным излучением, в ГОЖК-канале с ОД может формироваться как одно, так и двухвихревой поток.

4. Заключение

В предлагаемой работе численными методами, в рамках нелинейного обобщения классической теории Эриксона—Лесли, с учетом баланса энтропии, описаны несколько сценариев формирования вихревых течений в микроразмерном гибридно-ориентированном жидкокристаллическом (ГОЖК) канале с ориентационным дефектом (ОД) под действием сфокусированного лазерного излучения. Учет термомеханических вкладов в выражении для сдвигового напряжения и в уравнении баланса энтропии позволил описать процесс формирования двухвихревого потока в ГОЖК-каналах. Было установлено, что под действием потока тепла \mathbf{q} направленного под углом α к нижней границе ГОЖК-канала, содержащего ОД, могут окончательно сформироваться два либо один вихрь, хотя на начальном этапе формирования вихревых потоков всегда зарождаются два вихря, вращающиеся навстречу друг другу.

Исследованные в работе особенности, связанные с реакцией ЖК-материала, инкапсулированного в тонкие и сверхтонкие каналы на локально формирующиеся градиенты температуры, необходимо учитывать при создании сенсоров и датчиков, используемых в биотехнологических приложениях, медицине и биометрических оптических системах.

5. Приложение

Уравнение баланса моментов действующих на единицу объема ЖК-фазы имеет вид

$$\mathbf{T}_{el} + \mathbf{T}_{vis} + \mathbf{T}_{tm} = 0,$$

где $\mathbf{T}_{el} = \frac{\delta \mathcal{W}_{el}}{\delta \hat{\mathbf{n}}} \times \hat{\mathbf{n}}$ — упругий, $\mathbf{T}_{vis} = \frac{\delta \mathcal{R}^{vis}}{\delta \hat{\mathbf{n}}_t} \times \hat{\mathbf{n}}$ — вязкий и $\mathbf{T}_{tm} = \frac{\delta \mathcal{R}^{tm}}{\delta \hat{\mathbf{n}}_t} \times \hat{\mathbf{n}}$ — термомеханический вклады в баланс моментов соответственно. Здесь $\hat{\mathbf{n}}_t \equiv \frac{d\hat{\mathbf{n}}}{dt}$ — материальная производная вектора $\hat{\mathbf{n}} = n_x \hat{\mathbf{i}} + n_z \hat{\mathbf{k}}$.

Уравнение баланса линейных моментов, действующих на единицу объема ЖК-фазы имеет вид

$$\rho \frac{d\mathbf{v}}{dt} = \nabla \cdot \boldsymbol{\sigma},$$

где $\frac{d\mathbf{v}}{dt} = \frac{\partial \mathbf{v}}{\partial t} + u\mathbf{v}_{,x} + w\mathbf{v}_{,z}$, $\boldsymbol{\sigma} = \boldsymbol{\sigma}^{el} + \boldsymbol{\sigma}^{vis} + \boldsymbol{\sigma}^{tm} - \mathcal{P}\mathcal{E}$ — полное выражение для тензора напряжения (ТН), состоящее из упругого $\boldsymbol{\sigma}^{el} = -\frac{\partial \mathcal{W}_{el}}{\partial \nabla \hat{\mathbf{n}}} \cdot (\nabla \hat{\mathbf{n}})^T$, вязкого $\boldsymbol{\sigma}^{vis} = \frac{\delta \mathcal{R}^{vis}}{\delta \nabla \mathbf{v}}$ и термомеханического $\boldsymbol{\sigma}^{tm} = \frac{\delta \mathcal{R}^{tm}}{\delta \nabla \mathbf{v}}$ вкладов в ТН соответственно. Здесь $\mathcal{R} = \mathcal{R}^{vis} + \mathcal{R}^{tm} + \mathcal{R}^{th}$ — полная диссипационная функция Рэлея, $\mathcal{W}_{el} = \frac{1}{2} [K_1 (\nabla \cdot \hat{\mathbf{n}})^2 + K_3 (\hat{\mathbf{n}} \times \nabla \times \hat{\mathbf{n}})^2]$ — плотность упругой энергии, K_1 и K_3 — продольный и поперечный коэффициенты упругости, \mathcal{P} — гидростатическое давление в ЖК-системе, \mathcal{E} — единичный тензор, в то время как

$$\begin{aligned} \mathcal{R}^{vis} = & \alpha_1 (\hat{\mathbf{n}} \cdot \mathbf{D}_s \cdot \hat{\mathbf{n}})^2 + \gamma_1 (\hat{\mathbf{n}}_t - \mathbf{D}_a \cdot \hat{\mathbf{n}})^2 \\ & + 2\gamma_2 (\hat{\mathbf{n}}_t - \mathbf{D}_a \cdot \hat{\mathbf{n}}) \cdot (\mathbf{D}_s \cdot \hat{\mathbf{n}} - (\hat{\mathbf{n}} \cdot \mathbf{D}_s \cdot \hat{\mathbf{n}}) \hat{\mathbf{n}}) \\ & + \alpha_4 \mathbf{D}_s \mathbf{D}_s + (\alpha_5 + \alpha_6) (\hat{\mathbf{n}} \cdot \mathbf{D}_s \cdot \mathbf{D}_s \cdot \hat{\mathbf{n}}) \end{aligned}$$

— вязкий, а

$$\begin{aligned} \frac{1}{\xi} \mathcal{R}^{tm} = & (\hat{\mathbf{n}} \cdot \nabla T) \mathbf{D}_s : \mathbf{M} + \nabla T \cdot \mathbf{D}_s \cdot \mathbf{M} \cdot \hat{\mathbf{n}} + (\hat{\mathbf{n}} \cdot \nabla T) \\ & \times (\hat{\mathbf{n}}_t - \mathbf{D}_a \cdot \hat{\mathbf{n}} - 3\mathbf{D}_s \cdot \hat{\mathbf{n}} + 3(\hat{\mathbf{n}} \cdot \mathbf{D}_s \cdot \hat{\mathbf{n}}) \hat{\mathbf{n}}) \cdot \mathbf{M} \cdot \hat{\mathbf{n}} \\ & + \hat{\mathbf{n}} (\nabla \mathbf{v})^T \cdot \mathbf{M} \cdot \nabla T + \frac{1}{2} (\hat{\mathbf{n}} \cdot \mathbf{D}_s \cdot \hat{\mathbf{n}}) \nabla T \cdot \mathbf{M} \cdot \hat{\mathbf{n}} \\ & + \hat{\mathbf{n}}_t \cdot \mathbf{M} \cdot \nabla T + \frac{1}{2} \mathcal{M}_0 \nabla T \cdot \nabla \mathbf{v} \cdot \hat{\mathbf{n}} \\ & + (\hat{\mathbf{n}} \cdot \nabla T) \mathcal{M}_0 (\hat{\mathbf{n}} \cdot \mathbf{D}_s \cdot \hat{\mathbf{n}}) + \frac{1}{2} \mathcal{M}_0 \hat{\mathbf{n}}_t \cdot \nabla T \end{aligned}$$

и

$$\mathcal{R}^{th} = \frac{1}{T} (\lambda_{\parallel} (\hat{\mathbf{n}} \cdot \nabla T))^2 + \lambda_{\perp} (\nabla T - \hat{\mathbf{n}} (\hat{\mathbf{n}} \cdot \nabla T))^2$$

— термомеханический и термический вклады в полное выражение для функции Рэлея \mathcal{R} соответственно. Здесь $\alpha_1 \div \alpha_6$ — коэффициенты вязкости Лесли, $\gamma_1(T)$ и $\gamma_2(T)$ — коэффициенты вращательной вязкости ЖК-системы, ξ — термомеханическая постоянная, λ_{\parallel} и λ_{\perp} —

коэффициенты теплопроводности ЖК-системы вдоль и поперек направления директора $\hat{\mathbf{n}}$ соответственно. Тензоры $\mathbf{D}_s = \frac{1}{2} [\nabla \mathbf{v} + (\nabla \mathbf{v})^T]$ и $\mathbf{D}_a = \frac{1}{2} [\nabla \mathbf{v} - (\nabla \mathbf{v})^T]$ — являются симметричным и асимметричным вкладом в тензор скорости деформации, $\mathbf{M} = \frac{1}{2} [\nabla \hat{\mathbf{n}} + (\nabla \hat{\mathbf{n}})^T]$ и $\mathcal{M}_0 = \nabla \cdot \hat{\mathbf{n}}$ — скалярный инвариант тензора \mathbf{M} .

Уравнение теплопроводности описывающее изменение поля температуры $T(x, z, t)$ под действием потока тепла \mathbf{q} через нижнюю границу ГОЖК-канала имеет вид

$$\rho C_P \frac{dT}{dt} = -\nabla \cdot \mathbf{Q},$$

где $\mathbf{Q} = -T \frac{\delta \mathcal{R}}{\delta \nabla T}$ — есть тепловой поток в ЖК-системе, а C_P — коэффициент теплоемкости соответственно.

Список литературы

- [1] H.A. Stone, A.D. Stroock, A. Ajdari. *Annu. Rev. Fluid Mech.* **36**, 381 (2004).
- [2] T.M. Squires, S.R. Quake. *Rev. Mod. Phys.* **77**, 977 (2005).
- [3] R.B. Shoch, J.Y. Han, P. Renaud. *Rev. Mod. Phys.* **80**, 839 (2008).
- [4] P. Hanggi, F. Marchesoni. *Rev. Mod. Phys.* **81**, 387 (2009).
- [5] W. Sparreboom, A. van den Berg, J.C.T. Eijkel. *New. J. Phys.* **12**, 0115004 (2010).
- [6] P. Popov, L.W. Hanaker, M. Mirheydari, E.K. Mann, A. Jakli. *Sci. Rep.* **7**, 1603 (2017).
- [7] J. Beekman, I. Nys, O. Willekens, K. Neyts. *J. Appl. Phys.* **121**, 023106 (2017).
- [8] S. Lee, R. An, J.A. Hunt. *Nature Nanotech.* **5**, 412 (2010).
- [9] E. Verneuil, M.L. Cordero, F. Gallaire, Ch.N. Baroud. *Langmuir* **25**, 5127 (2009).
- [10] P.G. de Gennes, J. Prost. *The Physics of Liquid Crystals.* Oxford Univ. Press, Oxford (1995). 400 p.
- [11] A.V. Zakharov, A.A. Vakulenko. *J. Chem. Phys.* **127**, 084907 (2007).
- [12] R.S. Akopyan, R.B. Alaverdian, E.A. Santrosian, Y.S. Chilingarian. *J. Appl. Phys.* **90**, 3371 (2001).
- [13] J.L. Ericksen. *Arch. Ration. Mech. Anal.* **4**, 231 (1960).
- [14] F.M. Leslie. *Arch. Ration. Mech. Anal.* **28**, 265 (1968).
- [15] С. Гроот, П. Мазур. *Неравновесная термодинамика.* Мир, М. (1964). 456 с.
- [16] A.V. Zakharov, P.V. Maslennikov. *Phys. Rev. E* **96**, 052705 (2017).
- [17] И.С. Березин, Н.Р. Жидков. *Методы вычислений.* Физматгиз, М. (1964). 464 с.
- [18] А.А. Самарский, Е.С. Николаев. *Методы решения сеточных уравнений.* Наука, М. (1978). 592 с.

Редактор Ю.Э. Кутаев